## 基于

# 矩方法移动估计算法

# 的非平稳时间序列自适应 Student-t 分布

Jarek Duda

Jagiellonian University, Institute of Computer science and Computational Mathematics, Łojasiewicza 6, Krakow, Poland, Email: dudajar@gmail.com

Abstract—现实生活中的时间序列通常是非平稳的,带来了模型适应性的难题。经典的方法如 ARMA-ARCH 假设任意类型的依赖关系。为了避免它们的偏差,我们将专注于最近提出的agnostic 移动估计器哲学: 在时间 t 找到优化例如  $F_t = \sum_{\tau < t} (1-\eta)^{t-\tau} \ln(\rho_{\theta}(x_{\tau}))$  移动对数似然参数,该参数随时间演变。这允许使用廉价的指数移动平均 (EMA) 来估计参数,如绝对中心矩  $m_p = E[|x-\mu|^p]$  对于一个或多个幂  $p \in \mathbb{R}^+$  的演变使用  $m_{p,t+1} = m_{p,t} + \eta(|x_t-\mu_t|^p-m_{p,t})$ 。将展示这种通用自适应矩方法在 Student's t分布中的应用,该分布特别流行于经济应用中,此处应用于道琼斯工业平均指数公司的对数收益率。虽然标准的 ARMA-ARCH方法提供了  $\mu$  和  $\sigma$  的演化,但在这里我们还得到了描述  $\rho(x) \sim |x|^{-\nu-1}$  尾部形状、极端事件概率的  $\nu$  的演化——这些极端事件可能会导致灾难,破坏市场稳定。

**关键词:** 非平稳时间序列, 学生 t 分布, 自适应模型, 矩方法, 重尾

### I. 介绍

选择一个概率分布的参数族,例如这里的 Student's t-分布,通常关注的是直观上**静态估计**:整个数据集的一组参数  $\theta$  的优化,通常是通过最大化某个评估指标如  $F=\frac{1}{T}\sum_{t=1}^{T}f(\theta,x_t)$ 。例如,在流行的 MLE(最大似然估计)中使用  $f(\theta,x)=\ln(\rho_{\theta}(x))$ ,其中  $\rho_{\theta}(x)$  是假设的参数族的概率分布函数 (PDF)。这样所有数据点都有相等的 1/T 贡献,这似乎是对平稳时间序列的一个完美选择。

相比之下,现实生活中的时间序列往往是非平稳的,建议使用**自适应估计** [1]——具有演变参数,如图 1 中 Student's t-分布的  $\theta_t = (\mu_t, \sigma_t, \nu_t)$  我们将重点关注。每个时间点的移动估计器 t 将基于前值  $\{x_\tau\}_{\tau < t}$  分别优化  $\theta_t$  参数,权重逐渐减弱,最终优化:

$$F = \frac{1}{T} \sum_{t=1}^{T} f(\theta_t, x_t) \quad \text{e.g. log-likelihood: } \frac{1}{T} \sum_{t=1}^{T} \ln(\rho_{\theta_t}(x_t))$$
(1)

一个自然的方法来估计  $\theta_t$  是通过优化类似的函数  $F_t$ : 仅使

用过去值  $\{x_{\tau}\}_{\tau < t}$ ,并以指数递减的权重获得局部行为:

$$\theta_t = \underset{\theta}{\operatorname{arg\,max}} F_t \quad \text{for} \quad F_t = \sum_{\tau < t} \bar{\eta}^{t-\tau} \ln(\rho_{\theta}(x_{\tau})) \quad (2)$$

对于  $\bar{\eta} \in (0,1)$  学习率通常大于 0.9,也定义了  $\eta = 1 - \bar{\eta}$  以便于计算。

上述 (2) 移动 MLE 可以很容易地直接优化 EPD (指数幂分布)的  $\sigma$  尺度参数  $\rho(x) \sim \exp(-|x|^{\kappa})$  [1]瘦尾族,例如高斯和拉普拉斯分布,来自**绝对中心矩**: $m_p = E[|x - \mu|^p]$ ,用于适应性进化与指数移动平均 (EMA):

$$m_{p,t+1} = m_{p,t} + \eta(|x_t - \mu_t|^p - m_{p,t})$$
 (3)

使用  $p = \kappa$  进行 EPD, 并将  $\mu_t$  作为常量或也通过 EMA 进行调整。在这里我们将它应用到学生 t 分布上,这一次不是直接通过最大似然估计 (MLE),因为没有显式公式,而是通过矩法来估计—从单次幂的绝对中心矩中估算出  $\sigma$  尺度参数,或者从两次幂的这样的矩中估算出  $\nu$  自由度。

在一个关于道琼斯工业平均指数 (DJIA) 107年的每日对数收益以及其最近 29 家公司的 10 年数据的例子中,测试了这种自适应估计方法,特别是对于 σ 的估计,这导致了实质上更好的对数似然评估,在这里,相对于 EPD [1],学生 t分布略好一些。这也比标准的 σ 预测方法如 GARCH(1,1) [2] 更优——从一方面来说,GARCH(1,1) 集中在高斯分布上,并且还任意假设了依赖关系——在这里被替换为一种不带偏见的移动估计器优化局部参数的方法。

这种自适应估计可以与其他方法结合,这些方法可能会在本文后续版本中添加。例如,在线 PCA [3] 或自适应线性回归 [4] 来结合来自多个来源的信息,比如这里的公司数据或宏观经济数据——以改进此处使用的参数估计的时刻预测。最后,如在 [1] 中讨论的那样,我们可以使用这种参数分布进行标准化  $y_t = \text{CDF}_t(x_t)$ ,然后用 HCR(分层相关重构)[5] 建模密度作为线性组合的方式,以静态或自适应(随时间演变)的方式来轻微扭曲均匀分布  $\{y_t\}$ 。

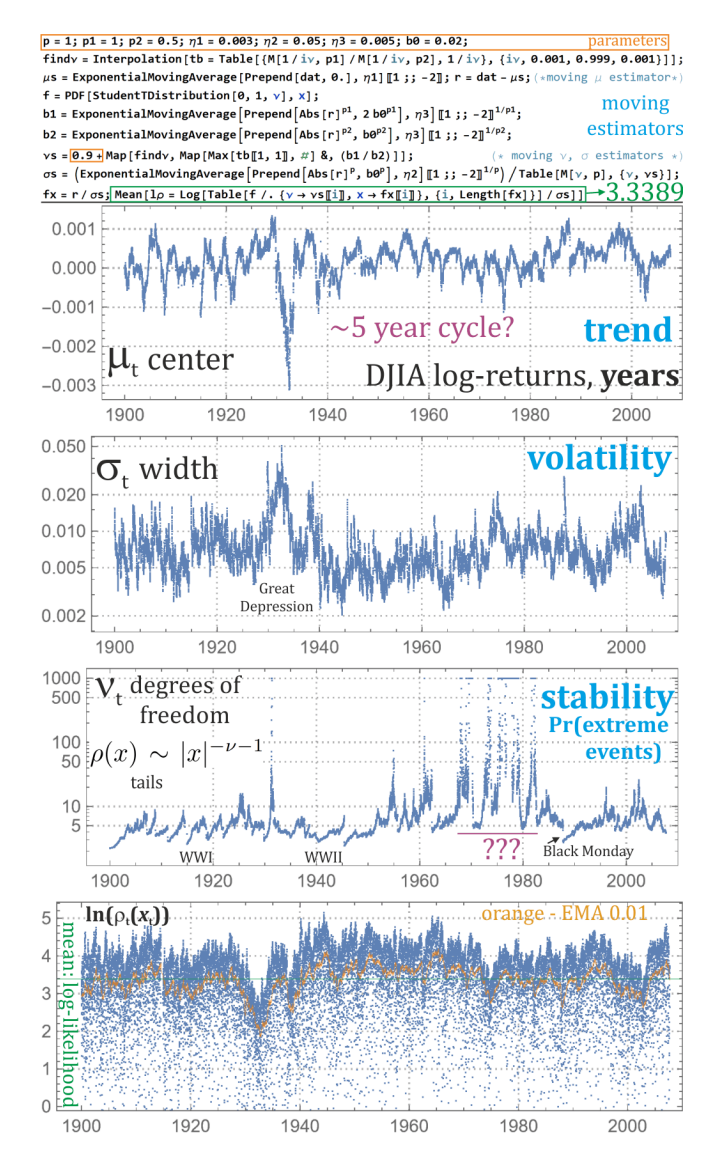


Figure 1. 用于移动估计所有  $\theta=(\mu,\sigma,\nu)$ Student's t 分布参数的 Mathematica 代码(使用  $M_{\nu p}=E[|(x-\mu)/\sigma|^p]$  矩公式 (6)),及其应用于道琼斯工业平均指数 (DJIA)107 年每日对数收益率时间序列的结果。这些参数在这种情况下是手动调整以最大化对数似然性的:均值  $\ln(\rho_t(x_t))$ 显示在底部。我们可以看到这个世纪中有趣的演变,这些可能值得进一步调查,比如中心  $\mu$  的  $\approx$  5 年周期行为,宽度  $\sigma$  的巨大  $\approx$  25× 变化,以及主要在 1967 年至 1983 年间出现的一些几乎高斯分布的  $\nu \to \infty$  时期。虽然  $\mu$  描述了总体的上升/下降趋势, $\sigma$  接近波动性,额外的  $\nu$  以一种稳定性一潜在灾难性极端事件的概率来补充它。

#### II. 用于评估的时间序列

使用了 1900-2007 年道琼斯指数的每日数据  $^1$  , 基于每日对数收益率序列  $x_t = \ln(v_{t+1}/v_t)$  进行工作。

图 2 还包括了 2018 年 9 月用于该指数的 30 家公司中 29 家公司的对数收益率评估。除了陶氏杜邦(DWDP)之外,过去十年的日价格数据均从纳斯达克网站(www.nasdaq.com)下载得到。对于其余的 29 家公司: 3M (MMM)、美国运通(AXP)、苹果公司(AAPL)、波音公司(BA)、卡特彼勒公

司(CAT)、雪佛龙公司(CVX)、思科系统公司(CSCO)、可口可乐公司(KO)、埃克森美孚公司(XOM)、高盛集团(GS)、家得宝公司(HD)、IBM公司(IBM)、英特尔公司(INTC)、强生公司(JNJ)、摩根大通公司(JPM)、麦当劳公司(MCD)、默克公司(MRK)、微软公司(MSFT)、耐克公司(NKE)、辉瑞公司(PFE)、宝洁公司(PG)、旅行者集团(TRV)、联合健康集团(UNH)、联合技术公司(UTX)、威瑞森电信公司(VZ)、维萨公司(V)、沃尔玛公司(WMT)、沃博联联盟公司(WBA)和华特迪士尼公司(DIS)、均使用了从2008年8月14日到2018年8月14日期间的每日收盘价(2518个值)。

#### III. 学生 T 分布和适应性

学生 t 分布最早由弗里德里希·赫尔姆特在 1875 年引入 [6],后来在 1908 年由威廉·西利·戈塞特以"学生"为 笔名发表 [7],从而得名。

其基本应用在于对 $\nu+1$ 独立同分布高斯随机变量之和的分布:对于样本均值与真实均值之间的差异。对于 $\nu=1$ 来说是柯西分布,对于大的 $\nu\to\infty$ 它逼近高斯分布。

其 PDF (概率密度函数),如图 3 所示,为:

$$\rho_{\mu\sigma\nu}(x) \equiv \rho(x) = \frac{\Gamma((\nu+1)/2)}{\sqrt{\nu\pi} \Gamma(\nu/2)} \left(1 + \frac{(x-\mu)^2}{\sigma^2 \nu}\right)^{-\frac{1+\nu}{2}}$$
 (4)

对于  $\mu \in \mathbb{R}$  和  $\sigma, \nu \in \mathbb{R}^+, \Gamma(z) = \int_0^\infty t^{z-1} e^{-t} dt$  伽玛函数。关键的是,它具有多项式重尾  $\rho(x) \sim |x|^{-\nu-1}$  对于  $|x| \to \infty$ ,因此只有对于  $p < \nu$  的有限矩  $E[x^p]$ 。

其累积分布函数  $\mu = 0, \sigma = 1$  如下所示,对于一般情况,代入  $x \to (x - \mu)/\sigma$ :

$$\int_{-\infty}^{x} \rho_{01\nu}(y)dy = \frac{1}{2} + x\Gamma\left(\frac{\nu+1}{2}\right) \frac{F_{1,2}\left(\frac{1}{2}, \frac{\nu+1}{2}; \frac{3}{2}, -\frac{x^{2}}{\nu}\right)}{\sqrt{\pi\nu}\Gamma\left(\frac{\nu}{2}\right)}$$
(5)

用于  $F_{1,2}$  超几何函数。

#### A. 绝对中心矩方法

对于矩方法我们将使用绝对中心矩: $E[|x-\mu|^p]$  用于不一定为整数的幂  $p\in\mathbb{R}^+$ 。使用 Mathematica 计算了如下积分的矩公式,对于  $p<\nu$  是有限的:

$$M_{\nu p} = \sqrt[p]{\int_{-\infty}^{\infty} |x|^p \rho_{01\nu}(x) dx} = \sqrt[p]{\frac{\nu^{p/2} \Gamma\left(\frac{p+1}{2}\right) \Gamma\left(\frac{\nu-p}{2}\right)}{\sqrt{\pi} \Gamma(\nu/2)}}$$
(6)

具有  $\{x_t\}_{t=1..T}$  数据样本,固定  $\nu$  并使用某些  $\mu$  估计量,例 如将  $\hat{\mu} = T^{-1} \sum_t x_t$  近似为均值,上述公式给出了尺度参数  $\sigma$  的简单估计量:

$$\hat{\sigma} = \frac{\sqrt[p]{T^{-1} \sum_t |x_t - \hat{\mu}|^p}}{M_{\nu p}} \tag{7}$$

<sup>&</sup>lt;sup>1</sup>DJIA 时间序列的数据来源: http://www.idvbook.com/teaching-aid/data-sets/the-dow-jones-industrial-average-data-set/

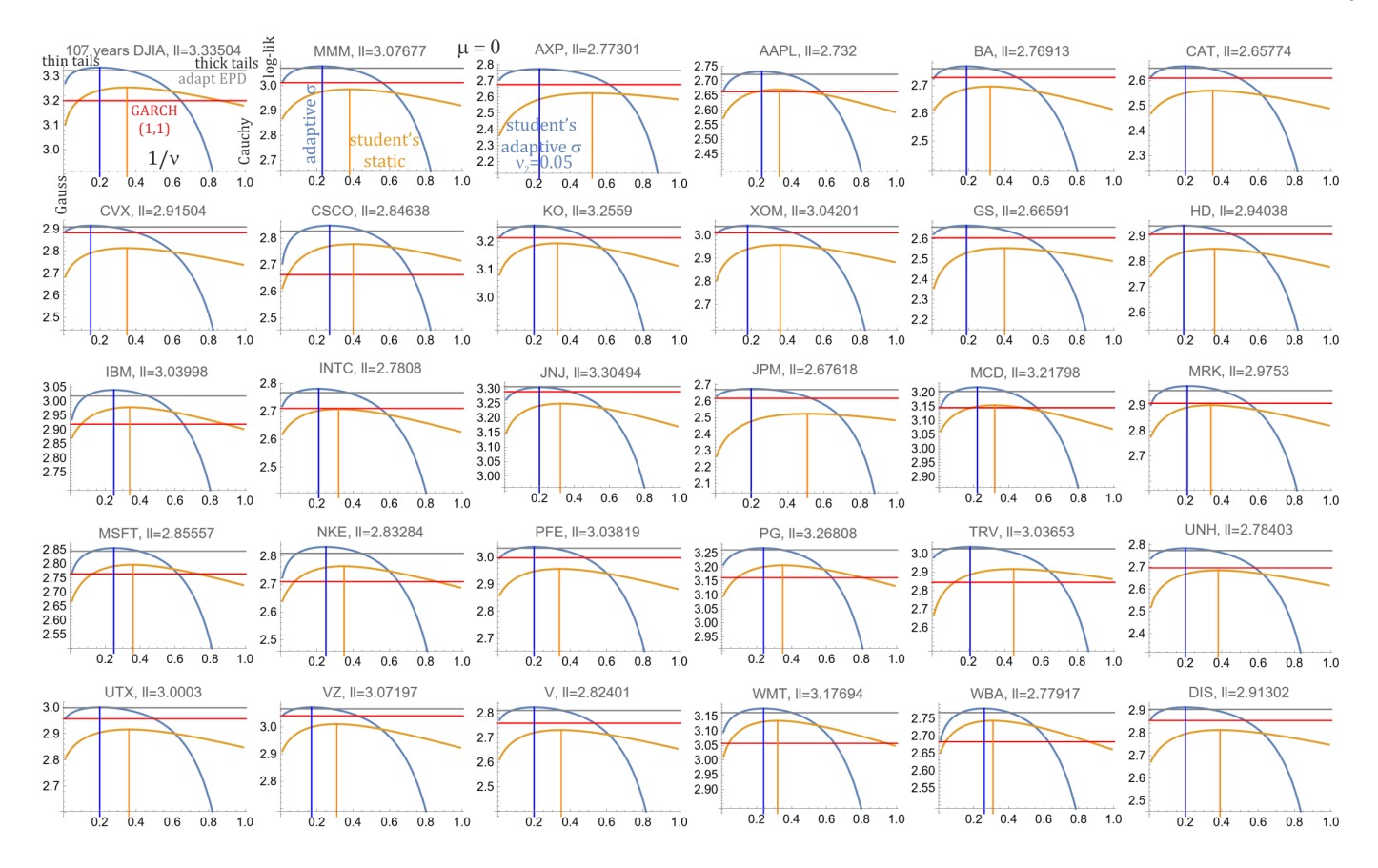


Figure 2. 对数似然值(均值  $\ln(\rho_t(x_t))$ )评估了 107 年道琼斯工业平均指数时间序列的对数收益率,以及 29 家单独公司的 10 年的数据。在横轴上,有  $1/\nu$  学生 t 分布的自由度(从高斯分布到柯西分布),对于静态参数(橙色)和自适应  $\sigma$  尺度参数(蓝色,使用 p=1 次幂和  $\eta_2=0.05$  学习率),所有这些都是针对  $\mu=0$  中心的。我们可以看到,适应性使得尾部更轻(最大值时  $\nu$  更大)。还类似地展示了从  $\sigma$  适应的最优结果用于  $\rho(x)\sim \exp(-|x|^\kappa)$ 指数幂分布,如前文 [1](灰色)所示。红线显示了通过标准 GARCH(1,1)模型评估的  $\sigma$  适应情况——这与  $\nu=\infty$  高斯情形可比,但通常略差一些。

所使用的 p 必须在  $(0,\nu)$  范围内,其中使用非整数 p 可能对  $p < \nu$  要求至关重要。

此外,使用各种 p 进行此类  $\sigma$  估计存在不同的不确定性,这取决于  $\nu$ ,如图 4 所示——建议优化 p,例如基于所使用的  $\nu$  范围,甚至动态修改 p。对于较大的  $\nu$ ,最优的 p 接近于 p=2 方差估计,标准为  $\nu \to \infty$  高斯分布极限。对于较小的  $\nu$ ,最优的 p 是  $\approx \nu/6$ 。

为了估计 $\nu$ ,一个自然直接的方法是将两个不同幂次的 平均值 $p_1, p_2$ 进行划分,去除 $\sigma$ 依赖性:

$$\frac{M_{\nu p_1}}{M_{\nu p_2}} \approx \frac{{}^{p_1}\sqrt{N^{-1}\sum_i|x_i - \hat{\mu}|^{p_1}}}{{}^{p_2}\sqrt{N^{-1}\sum_i|x_i - \hat{\mu}|^{p_2}}}$$
(8)

选择一些  $p_1 \neq p_2$ ,则  $M_{\nu p_1}/M_{\nu p_2}$  随  $\nu$  单调变化(示例见图 4),我们可以例如将其行为放入表格中,并基于平均值进行插值得到  $\nu$  的估计,例如在图 1 的代码中以f ind $\nu$  方式实现。

然而,类似于 1/(n-1) 的方差估计量的标准调整,(8) 的估计似乎有偏差——需要通过计算其期望值来进行调整,最好是用一个明确的公式(尚待找到)。在图 1 中,这样的轻微调整是通过对找到的 $\nu$ 加上(调节过的)0.9 来实现的。

#### B. 移动中心矩估计量

上述矩法可以通过简单地将平均值替换为指数移动平均值——均匀权重替换为指数减弱的权重来轻松适应移动估计器。

对于中心 $\mu$ ,我们可以使用下面的基本适应性调整——它仅在高斯情形 ( $\nu \to \infty$ ) 下是最佳的,因此通常情况下可以稍作改进。然而,对于所讨论的数据来说,收益已经几乎可以忽略不计了。

$$\mu_{t+1} = \mu_t + \eta_1(x_t - \mu_t) \tag{9}$$

最为关键的是  $\sigma$  尺度参数自适应估计,例如在 ARCH 家族中,但以更不可知的方式进行,在这里使用(7)公式 为选定的  $p \in (0,2)$  次幂( $p < \min_t(\nu_t)$ ),这次使用随时间 演变的(中心绝对)矩:

$$m_{p,t+1} = m_{p,t} + \eta_2(|x_t - \mu_t|^p - m_{p,t}) \tag{10}$$

最后,对于 $\nu$ 自由度的估计,我们可以使用 (8) 公式来 更新某些不同幂次  $p_1, p_2$  的矩,并且采用某种  $\eta_3$  学习率。

图 1 包含了所有 3 个参数适应所使用的 Mathematica 代码,以及它们在 DJIA 时间序列中的演化。手动调整导致 了 3 种不同的学习率:  $\eta_1 = 0.003, \eta_2 = 0.05, \eta_3 = 0.005$  分

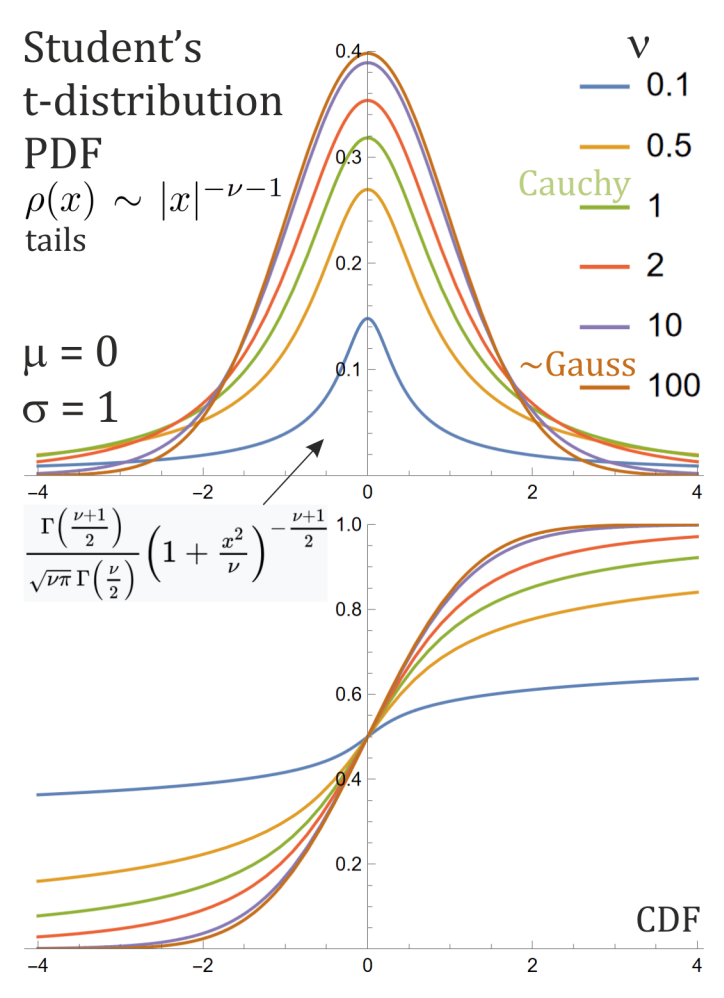


Figure 3. 概率分布函数(PDF,渐近于  $\sim |x|^{-1-\nu}$ )和累积分布函数(CDF)对于中心固定为  $\mu=0$  和尺度参数为  $\sigma=1$  的学生 t 分布,但形状参数不同为  $\nu$ 。当  $\nu\to\infty$  时我们得到高斯分布, $\nu=1$  时得到柯西分布,并且还可以涵盖不同类型重尾和分布体。

别对应于  $\mu, \sigma, \nu$  (对于尺度参数  $\sigma$  快得多)。

图 2 显示了使用固定  $\mu=0$  中心和各种固定  $\nu$  对单个 MLE 参数  $\sigma$  进行评估,或者使用(7)估计的  $\sigma$  调整,具有 p=1 次幂和  $\eta_2=0.05$  学习率。例如:导致对数似然仅比图 1 中优化演化所有 3 个参数时差  $\approx 0.004$ 。 $\nu$  估计器需要调整——此处通过简单添加调优参数来完成,希望未来能改进并自动化。

 $\nu$  进化,在标准的 ARMA-ARCH 方法中不可用,评估局部尾形,潜在破坏性极端事件的概率——建议将其称为稳定性,补充流行的**波动率**评估,类似于  $\sigma$ 。图 5 和 6 检查了确实如图 1 所建议的 1967-1983 范围具有更薄的尾部。图 7 显示了所有公司( $\eta_3=0.005$ )的  $\nu$  演变情况——这种分析可能有助于定位和理解影响稳定性的因素/机制,这有望在未来应用于降低潜在灾难性极端事件发生的概率。

#### C. 包括不对称性

尤其是尾部,例如图 6 所示,明显是非对称的,因此将 其纳入可能也是有价值的。有两种经典的方法可以不对称

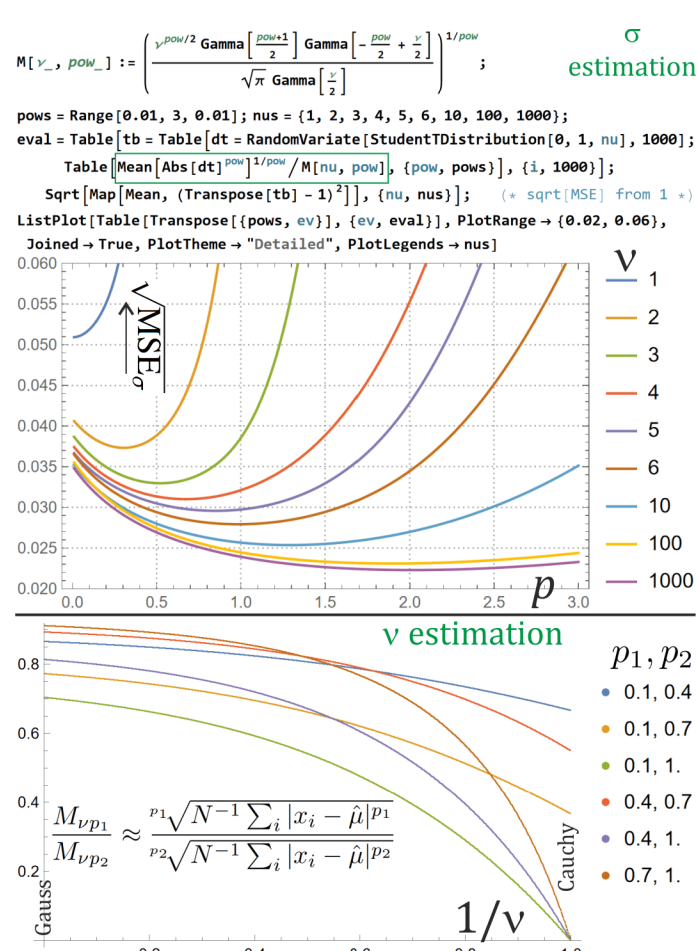


Figure 4. **顶部**: 错误依赖于在  $\sigma$  估计中选择的幂 p 作为  $\hat{\sigma} = \sqrt[p]{T^{-1}\sum_t|x_i-\hat{\mu}|^p}/M_{\nu p}$ 。我们可以看到,对于高斯分布  $\nu \to \infty$ ,我们应该选择 p=2,就像在标准方差估计中一样,但为了提高预测应该减少这个 p 对于较低的  $\nu$  到  $p\approx \nu/6$ 。**底部**: 单调函数用于估计  $\nu$  的各种 2次幂选择  $p_1,p_2$ 。

Numbe	rs of <b>ext</b>	reme e	vents for 10	7 years I	JIA daily	log-retur	ns: data v	s expecte	d Student'	s t-distributio
event	σ=√ <b>var</b>	adapt $\sigma$	∨=1 Cauch	y ∨=2	∨= <b>3</b>	∨= <b>4</b>	∨= <b>5</b>	∨=6	∨= <b>10</b>	γ=∞ <b>Gauss</b>
<b>1</b> σ	5204	11191	14674.5	12 404.3	11475.5	10973.6	10660.1	10445.8	10004.9	9312.75
<b>2</b> σ	1170	3281	8662.86	5385.64	4089.08	3407.9	2991.82	2712.62	2153.87	1335.39
<b>3</b> σ	422	916	6011.64	2801.83	1692.52	1172.26	883.383	704.617	391.623	79.2363
<b>4</b> σ	194	316	4577.22	1678.5	822.02	473.402	302.982	208.935	73.9105	1.85904
<b>5</b> σ .	ទ្ធ 96	ន្ទ 133	3688.17	1107.91	451.753	219.837	120.469	71.9738	15.7702	0.0168259
6σ	ূ 58	∮ 74	3085.66	782.781	272.145	113.949	54.1823	28.3081	3.87726	0.000057910
<b>7</b> σ •	<b>43</b>	⊎ 48	2651.23	581.226	175.691	64.3368	26.9056	12.4288	1.09049	7.51224×10
<b>8</b> σ	SL 29	SL2 37	2323.47	448.103	119.643	38.8551	14.4663	5.97148	0.345583	3.65158×10
9σ	g 28	g 29	2067.54	355.759	84.9892	24.7656	8.29637	3.08961	0.121448	6.62459×10
10σ	E 23	⊒ 20	1862.22	289.16	62.4664	16.4942	5.01714	1.69989	0.0466518	$\textbf{4.4727} \times \textbf{10}^{-}$
Above all 29349 days, below 4012 days 1967-1983 - no 6σ (extreme) events, much closer to Gaussia										
event	1967-1	.983 v=	1 Cauchy	∨= <b>2</b>	∨=3	∨=4	∨=5	∨= <b>6</b>	∨= <b>10</b>	∨=∞ Gaus
<b>1</b> σ	월 1078		2006.	1695.67	1568.7	1500.09	1457.23	1427.9	4 1367.66	1273.05
2σ	ž 204		184.21	736.216	558.976	465.859	408.981	370.81	4 294.433	182.547
3σ	ို့ 38		21.789	383.009	231.368	160.247	120.758	96.320	9 53.5347	10.8316
4σ	ਰੂ <b>13</b>		25.705	229.45	112.37	64.7139	41.4175	28.561	3 10.1036	0.25413
5σ	<u>a</u> 3	5	04.172	151.451	61.7545	30.0516	16.4681	9.8388	3 2.15578	0.0023000

Figure 5. 实际和预期的事件数量  $|X-\mu|>k\sigma$ : 对于  $k=1,\dots,10$ , 完整的 29349 个值的时间序列从 1900-2007(顶部)以及限制在 4012 个值 上从 1967-1983(底部)。显著的绿色第二列是数据中的数值数量,在右侧 有各种  $\nu$  的 Student t 分布的预期事件数量(长度 × 概率)。在顶部表格中,我们看到大量的极端事件,在使用接近  $\nu \in (3,5)$  的自适应  $\sigma$  后。相比之下,由图 1 中  $\nu$  的演化所建议的 1967-1983 年区间具有极低的  $\nu \sim 10$  极端事件概率——这表明市场更加稳定。图 7 显示了更详细的  $\nu$  演化,可能有助于定位、理解关键机制,并且也许可以利用这些机制来使市场更加稳定。

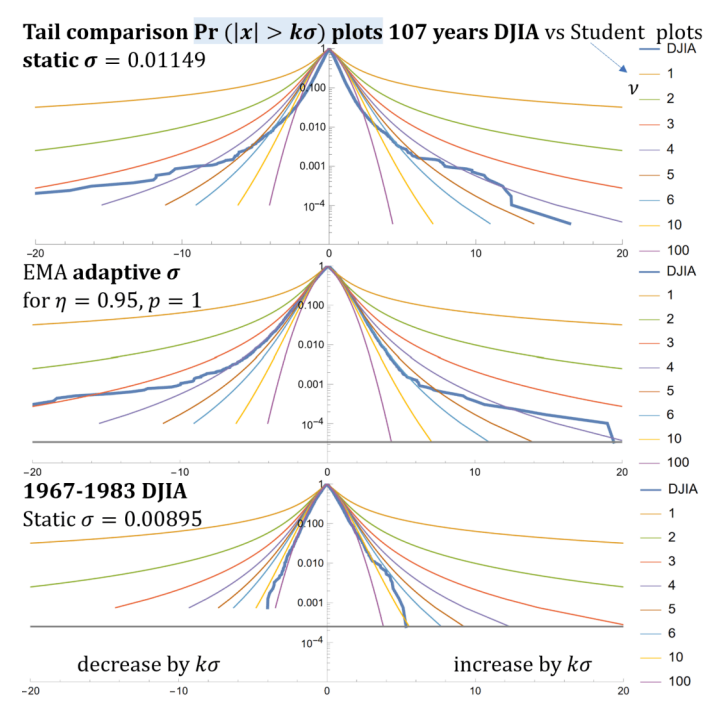


Figure 6. 图 5 的可视化表格: 超出  $k\sigma$  的概率向左(负)和右(正):基于道琼斯工业平均指数数据(粗蓝色线),并与各种自由度  $\nu$  的学生 t 分布进行比较(细色线)。 **顶部**:整个 107 年期间的静态  $\sigma=0.001149$ ,我们可以观察到中心行为在对数尺度下几乎呈线性,如同拉普拉斯分布。中心自适应  $\sigma$  使中心行为更接近学生 t 分布,但尾部对应于 t 3 到 6 之间的各种 t 2 大右尾之间有明显的不对称。 **底部**:如所见,1967-1983 年的道琼斯工业平均指数几乎呈高斯分布,这可以在限制在此期间的数据的底部图中看到,已经为静态 t 3 提供了良好的一致性,并且尾部在 t 10 到 t 100 之间的 t 2 。

化 Student-t 分布: 非中心 t 分布 [8] 的概率密度函数为

$$\frac{e^{-\frac{\delta^2}{2}} 2^{\nu} \nu^{\frac{\nu}{2}+1} \Gamma\left(\frac{\nu+1}{2}\right)}{\pi} H_{-\nu-1} \left(\frac{-x\delta}{\sqrt{2} \sqrt{x^2+\nu}}\right) \left(\nu+x^2\right)^{-\frac{\nu+1}{2}}$$

和参数  $\nu, \delta$ : 和偏斜广义 t 分布 [9] 的概率密度函数。

$$\frac{p}{2v\sigma q^{\frac{1}{p}}B(\frac{1}{p},q)\left(1+\frac{|x-\mu+m|^p}{q(v\sigma)^p(1+\lambda \operatorname{sgn}(x-\mu+m))^p}\right)^{\frac{1}{p}+q}}$$

然而,它们复杂得多,尤其是如果想要寻找自适应估计,这可能是未来值得考虑的内容。

相反,为了简化起见,让我们从不对称性开始,只需将两个具有独立参数的标准 Student t 密度粘合到  $\mu$  中,这些参数描述了  $\overleftarrow{\sigma}$ ,  $\overleftarrow{\nabla}$  左尾,以及描述了  $x < \mu \overrightarrow{\sigma}$ ,  $\overrightarrow{\nabla} x > \mu$  石尾。虽然这不是必要的,但为了使概率密度函数连续,我们需要确保在  $\mu$  处左部和右部具有相同的值,通过线性缩放这会导致概率密度函数:

$$\rho_{\mu \overleftarrow{\sigma} \overleftarrow{\nabla} \overrightarrow{\sigma} \overrightarrow{v}}(x) = \frac{2 \left\{ \begin{array}{l} \left( 1 + \frac{(x-\mu)^2}{\overleftarrow{\sigma}^2 \overleftarrow{v}} \right)^{-\frac{\overleftarrow{v}+1}{2}} & \text{if } x \leq \mu \\ \left( 1 + \frac{(x-\mu)^2}{\overrightarrow{\sigma}^2 \overrightarrow{v}} \right)^{-\frac{\overrightarrow{v}+1}{2}} & \text{if } x > \mu \end{array} \right.}{\sigma_l \sqrt{\overleftarrow{v}} B\left(\frac{\overleftarrow{v}}{2}, \frac{1}{2}\right) + \sigma_r \sqrt{\overrightarrow{v}} B\left(\frac{\overrightarrow{v}}{2}, \frac{1}{2}\right)} \quad (11)$$

这样做的优点是我们可以像之前一样精确地使用自适

应估计  $\sigma$ , $\nu$ , 只是将当前  $\mu$  以下/以上的值分开: 我们保留 两份  $\sigma$ , $\nu$  的副本, 并根据  $\operatorname{sgn}(x-\mu)$  更新其中一个。

然而,对 DJIA 的测试导致了分别适应左右尾部的  $\overleftarrow{v}$ , $\overrightarrow{v}$  和  $\overleftarrow{o}$ , $\overrightarrow{\sigma}$  的  $\approx$  0.01 更差的对数似然。它回到了分别适应  $\overleftarrow{v}$ , $\overrightarrow{v}$  和共同  $\sigma = \overleftarrow{\sigma}$  一 的原始对数似然。因此,虽然  $\overleftarrow{v}$ , $\overrightarrow{v}$  可以用来描述单独左右尾部的形状,但对于  $\sigma$  尺度参数来说,使用一个共同的是更好的选择。我们还可以寻找更复杂的自适应估计方法,或者可能使用非中心或偏斜 t 分布。

我们可以使用这种演变特别是  $\nu$  来评估市场:例如,分别估计左尾和右尾极端事件的概率,也将它们用作各种模型的局部参数。图 8 显示了它在 107 年道琼斯工业平均指数中的演化过程,有趣的是,显示出某个时期正好有一个尾部较重的情况:无论是减少还是增加都能更容易地获得极值。

## IV. 结论与进一步工作

本文介绍了矩方法的一些新颖扩展——不仅适用于幂次不一定是自然数的绝对中心矩 (在处理低 ν 时至关重要),更重要的是作为 EMA 移动估计器——用于随时间变化的参数,也可以独立地应用于左右尾。除了能够更好地评估对数似然之外,它还能提供这些关键参数的变化情况,如图1、7、8 所示——包括 ν 自由度来评估极端事件的概率,理解这种依赖关系可能会允许引入一些市场稳定机制。例如,它建议寻找在1967年至1983年间道琼斯工业平均指数中 ν 急剧增加的机制,在图 5、6 中得到确认。

这是一个通用方法,可能也值得应用于其他分布,如 alpha-稳定分布和更大的模型。同时,将其与其它特别是自适应模型结合也是有意义的,比如在线线性回归和 HCR (层次相关重构)——这将在本文后续版本中进行规划。

进一步工作的计划示例:

- 改进来自矩的估计量——特别是 ν 的。
- 改进不对称情况的演化,例如更好地适应性估计所提出的粘合的两个学生 t 分布,或非中心、偏斜变体。
- 增加进一步的建模,例如依赖其他股票、宏观经济数据等,比如使用自适应线性回归[4]和 HCR[5]来包括细微的相关性。
- 寻找各种分布的移动估计器的不同方法,例如使用梯度上升方法,可能还包括如 [10] 中的二阶信息。
- 讨论的方法有许多超参数,比如学习率——通常对于相似的数据类型是通用的。自动优化它们并通过进化进行适应可能是有价值的。
- 理解影响 ν 演化的机制/依赖关系,也分别针对左尾和 右尾,并希望利用它们,例如提高标记的稳定性。
- 测试了适用于不同应用的方法,如数据压缩,其中对数 似然改进转化为每符号节省的比特。

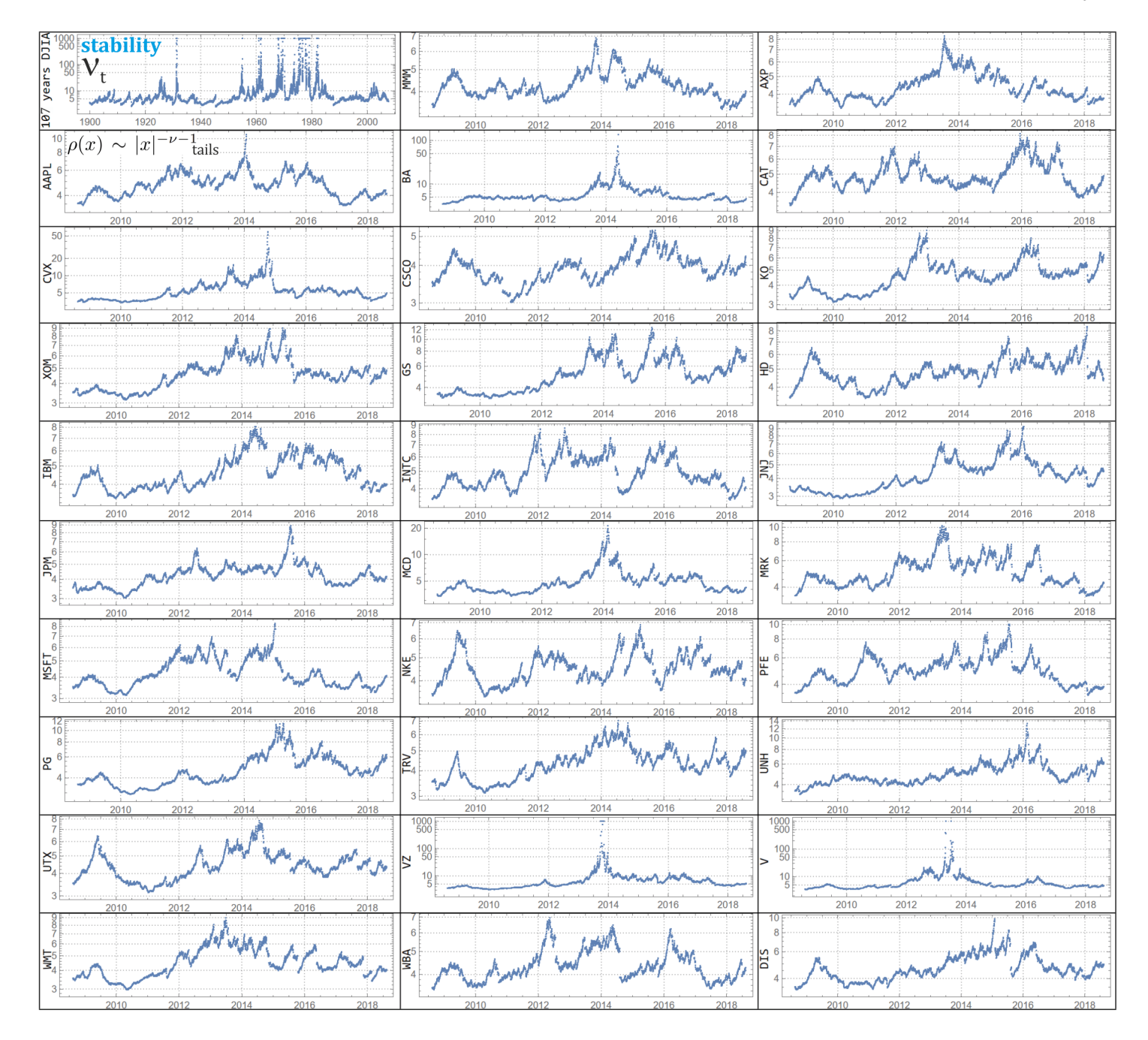


Figure 7.  $\nu$  参数在所有 1+29 个案例中的演变,使用了  $p_1=1$  和  $p_2=1/2$  次方以及  $\eta_3=0.005$  学习率。它描述了尾部形状  $\rho(x)\sim |x|^{-\nu-1}$ ,极端事件的概率——可能是灾难性的,可能会导致市场不稳定,这表明了"稳定性"解释补充了标准的"波动性"评估。将上述演变与各种历史事件/因素进行比较可能有助于理解和利用它们来改善市场稳定。

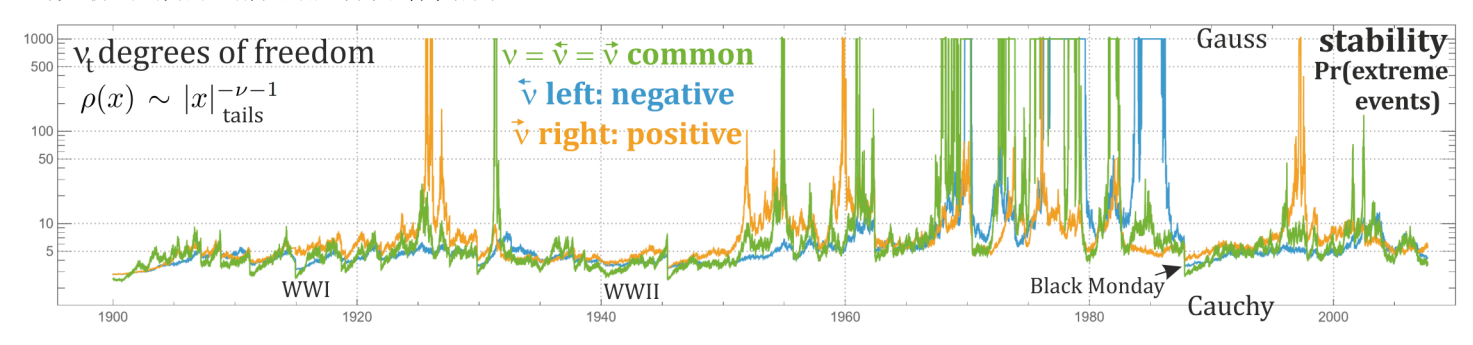


Figure 8. 如图 6 所示存在尾部不对称,因此进行了如下分析:对道琼斯工业平均指数(DJIA)的自由度 $\nu$ 进行自适应估计,如同之前在分布 1 中所做的那样(绿色),并且单独分析了负值左侧尾部 $x_t < \mu_t$  的  $\overleftarrow{\nu}$  (蓝色)和正值右侧尾部 $x_t > \mu_t$  的  $\overrightarrow{\nu}$  (橙色)。有趣的是,我们可以观察到如 1983-87年间仅有单侧重尾的现象。类似的左右单独估计 $\sigma$  更加嘈杂,并且仅恶化了对数似然,因此没有展示。

#### References

- [1] J. Duda, "Adaptive exponential power distribution with moving estimator for nonstationary time series," arXiv preprint arXiv:2003.02149, 2020.
- [2] T. Bollerslev, "Generalized autoregressive conditional heteroskedasticity," *Journal of econometrics*, vol. 31, no. 3, pp. 307–327, 1986.
- [3] H. Cardot and D. Degras, "Online principal component analysis in high dimension: Which algorithm to choose?" *International Statistical Review*, vol. 86, no. 1, pp. 29–50, 2018.
- [4] J. Duda, "Parametric context adaptive laplace distribution for multimedia compression," arXiv preprint arXiv:1906.03238, 2019.
- [5] —, "Exploiting statistical dependencies of time series with hierarchical correlation reconstruction," arXiv preprint arXiv:1807.04119, 2018.
- [6] F. R. Helmert, "Über die berechnung des wahrscheinlichen fehlers aus einer endlichen anzahl wahrer beobachtungsfehler," Z. Math. U. Physik, vol. 20, no. 1875, pp. 300–303, 1875.
- [7] Student, "The probable error of a mean," Biometrika, vol. 6, no. 1, pp. 1–25, 1908.
- [8] N. Johnson and B. Welch, "Applications of the non-central tdistribution," *Biometrika*, vol. 31, no. 3/4, pp. 362–389, 1940.
- [9] P. Theodossiou, "Financial data and the skewed generalized t distribution," *Management science*, vol. 44, no. 12-part-1, pp. 1650–1661, 1998.
- [10] J. Duda, "Improving SGD convergence by tracing multiple promising directions and estimating distance to minimum," arXiv preprint arXiv:1901.11457, 2019.